

일반 그리드 그래프를 위한 입출력 효율적인 영역 구분자

허준호^o R.S. Ramakrishna
 광주과학기술원 정보통신공학과
 {jhher^o, rsr}@gist.ac.kr

I/O Efficient Cycle Region Recognizer for General Grid Graphs

Jun-Ho Her^o R.S. Ramakrishna
 Dept. of Inf. & Comm., Gwangju Institute of Science and Technology (GIST)

요 약

자료의 크기가 방대한 응용 프로그램에서는 메인 메모리와 저장 장치간의 자료 입출력(I/O)이 전체 계산의 주요 병목 요인으로 작용한다. 본 논문은 [2004 한국정보처리학회 추계논문집 제11권 제2호 1139-1142]에서 제안된 그리드(grid) 그래프를 위한 입출력 효율적인 depth-first search (DFS) 알고리즘을 지원하기 위한 입출력 효율적인 영역 구분자를 구하는 알고리즘을 제안 한다. 그 입출력 복잡도(I/O-complexity)는 $O(\text{sort}(N))$ 이다. 여기서 $N=|V|+|E|$ 이고 $\text{sort}(N) = \theta(N/B) \log_{M/B}(N/B)$ 이다.

1. 서 론

저장장치(하드 디스크)의 성능은 계산장치(CPU 및 메모리)의 속도에 비해 매우 느릴 뿐 더러 점점 그 격차가 커지고 있는 실정이다[1]. 이에 최근에 알고리즘 분야에서도 계산 스텝뿐만 아니라 입출력 횟수를 고려하기 위한 움직임이 활발히 일고 있다[2-9]. 본 논문에서는 저장장치를 고려하는 두 단계 입출력 모델(two-level I/O model)[10]을 바탕으로 알고리즘을 설계하고 분석한다. 이 모델에서의 파라미터는 다음과 같다:

- N = 문제의 크기 (그래프 문제에서는, $N=|V|+|E|$),
- M = 내부 메모리의 크기,
- B = 디스크 블록의 크기,
- D = 독립적인 디스크 드라이브의 수,

여기서 MKN 이고 $1 \leq DB \leq M/2$ 이다. 본 논문에서는 편의상 D 를 1로 둔다. 두 단계 입출력 모델에 대한 보다 자세한 사항은 [10]을 참고하기 바란다.

저자들은 [11]에서 그리드(grid) 그래프를 위한 입출력 효율적인 DFS 알고리즘을 제안 하였다. 여기서, 그리드 그래프는 무한 이차원 정수 격자상의 유한한 점유도(node-induced) 그래프로 정의 된다. 일반화된 그리드 그래프는 대각 edge가 존재하고 서로 교차 할 수 있으므로 비평면 그래프로 분류 된다. 제안 알고리즘은 평면 그래프를 위한 알고리즘이 여전히 동작할 수 있게끔 부가적인 동작을 추가 한 것인데, 여기서 핵심이 되는 것은 내부 점과 외부 점을 특정 비율로 나누어 주는 simple cycle 분할자를 찾는 것이다. 본 논문은 이를 위한 전초 단계로써 simple cycle 영역 구분자를 찾아주는 알고리즘을 제안한다.

본 논문은 다음과 같이 구성된다. 2장에서는 관련 알고리즘에 대해 살펴보고, 3장에서는 제안 알고리즘에 대해 기술하며, 마지막으로 4장에서는 결론을 맺는다.

2. 관련 알고리즘

[11]의 알고리즘은 평면 그래프를 위한 입출력 효율적인 DFS 알고리즘과 유사하게 진행되면서 그리드 그래프의 비 평면성으로 인해 발생하는 cycle separator의 비분할 요인을 내부 루프에서 제거함으로써 비 평면 그리드 그래프에 대해서도 'divide and conquer' 방법을 가용케 한다. 이러한 알고리즘을 지원하기 위해서는 그리드 그래프를 위한 simple cycle 영역 구분자를 구해야 하는데 이는 평면 그래프에 대한 simple cycle 2/3-separator 알고리즘을 이용하여 구할 수 있다.

평면 그래프에 대한 simple cycle 2/3-separator C 는 그 내부나 외부에 $2/3|V|$ 이상의 vertex들을 포함하지 않도록 하는 cycle이다. 다음은 평면 그래프에 대한 simple cycle 2/3-separator C 를 구하는 알고리즘에 대해 간략히 기술한다.

1. 큰 face들을 체크한다: 경계가 최소한 $1/3|V|$ 의 크기를 가지는 face가 있는지 체크 한다 (그림 1(a)). 주어진 그래프 G 의 각 face를 경계에 따라 있는 vertex들의 리스트로 나타낸다. 이러한 표현을 하는데 $\alpha(\text{sort}(M))$ 입출력이 소요된다[12]. 만일 그런 face가 발견되면, 그 것의 경계를 C 로 보고하고 끝낸다.
2. 큰 subtree들을 체크한다: 만일 1단계가 통과되면, 주어진 그래프 G 의 듀얼 그래프 G^* 에 대한 spanning tree T 를 구하고 임의의 vertex v 를 근으로 정한다. T 의 모든 vertex v 에 대해서 $T(v)$ 는 v 를 중심으로 한 subtree에 대한 표현이고 이 subtree의 vertex들은 face들에 대응되므로 $G(v)$ 는 그 face들의 경계들로 구성된 그래프로 정의한다. [13]에서는 $G(v)$ 의 경계가 simple cycle임을 증명하였고 $1/3|V| \leq |G(v)| \leq 2/3|V|$ 인 v 를 찾는 방법을 보이고 있다 (그림 1(b)). 이것이 성공하면 $G(v)$ 의 경계를 C 로 보고하고 끝낸다.
3. 한 큰 subtree를 나눈다: 만일 1,2단계가 실패하였다면, $|G(v)| > 2/3|V|$ 이고 v 의 모든 자식들

w_1, \dots, w_k 에 대해서 $|G(w_i)| < 1/3|V|$ 인 vertex v 가 존재한다고 할 수 있다. [13]에서 저자들은 $G(v)$ 의 face들 v^f 의 경계와 그래프 $G(w_1), \dots, G(w_k)$ 의 한 부분집합으로 구성되는 $1/3|V| \leq |G'| \leq 2/3|V|$ 인 한 subgraph G' 를 구하는 것과, G' 의 경계가 한 simple cycle임을 보이고 있다.(그림 1(c)).

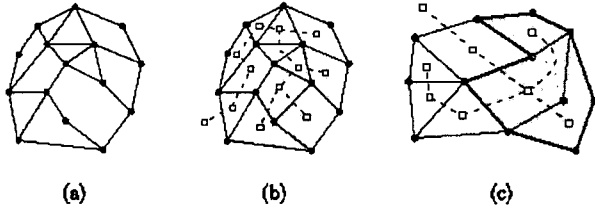


그림 1. 평면 그래프에서 simple cycle 2/3-구분자

다음 정리는 이 알고리즘에 대한 것이다.

정리 1[13] 어떤 *biconnected* 평면 그래프의 한 simple cycle 2/3-separator 는 $O(\text{sort}(N))$ 입출력 복잡도와 선형공간으로 구할 수 있다.

3. 한 simple cycle 2/3-영역 구분자 C 구하기

제안 알고리즘의 핵심 아이디어는 주어진 그리드 그래프의 평면 subgraph를 가장자리 cycle을 통해서 구하고 이 subgraph에 대해서 2절의 평면 그래프에 대한 알고리즘(planar_{2/3}SCS)을 적용하여 simple cycle C 를 구하는 것이다. 그 절차는 다음과 같다:

1. 가장자리 cycle C_{out} 를 구한다: 가장자리라 함은 기하적인 위치에 의해 가장 바깥쪽임을 뜻한다.
 - 가. G 에서 가장자리에 있는 vertex들로 구성된 집합을 V_{out} 라 하자 (그림 2(b)에서 회색 vertex들). 모든 $v \in V_{out}$ 에 대해서, 만일 v 가 한 edge e 와 incident하다면, e 는 E_{out} (그림 2(b)에서 두꺼운 선들)에 포함된다. 그리고 만일 e 의 다른쪽 끝 vertex가 V_{out} 에 포함되지 않았다면 V_{out} 에 포함시킨다(그림 2(c)에서 검은 vertex들).
 - 나. $G_{out}=(V_{out}, E_{out})$ 의 모든 edge $\{v, w\}$ 를 양방향성 edge들 (v, w) 와 (w, v) 로 교체한다(그림 2(c)).
 - 다. 결과 양방향 subgraph D_{out} 으로부터 한 가장자리 cycle C_{out} 추출 하기(그림 3): D_{out} 의 시계방향으로 순회하면서 임의의 한 cycle을 찾고, 반복적으로 더욱 바깥쪽에 있는 subpath의 유무를 체크하고 존재하면 C_{out} 의 해당 subpath를 이 subpath로 갱신 한다.
 - 라. cycle C_{out} 의 정제: 만일 구한 cycle C_{out} 이 교차 edge를 갖고 있으면, 교차 edge의 각 끝 vertex 위치를 교환하고 이로 인한 비-cycle edge들의 새로운 교차를 제거 하기 위해 그 비-cycle edge를 제거 한다(그림 4(a)).

2. 평면 subgraph G' 추출하기(그림 4(b))
 - 가. cycle C_{out} 을 가로지르는 edge들을 제거한다.
 - 나. cycle C_{out} 내의 모든 교차 대각 edge쌍에서 한 edge씩 제거 한다.
3. planar_{2/3}SCS를 적용한다(그림 4(c)): G' 에 대해서 planar_{2/3}SCS를 적용한다. 여기서 단계 1.라와 단계 2의 edge제거에 의해서 한 face내에 고립 vertex (또는 connected component)가 존재 할 수 있는데(그림 2), planar_{2/3}SCS를 적용할 때 한 face 의 고립 vertex는 f 의 vertex cardinality에 기여를 하게끔 하고 C_{out} 의 바깥쪽 vertex들도 전체 vertex cardinality $|V|$ 에 고려되게 한다.

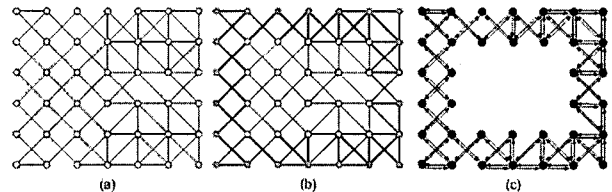


그림 2. 단계 1.가와 나 의 예제

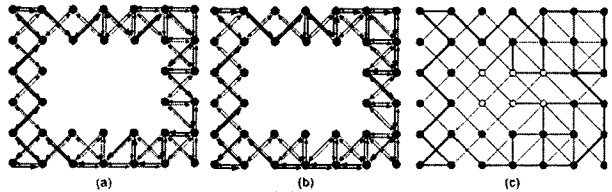


그림 3. 단계 1.다의 예제((a) 초기 cycle, (b) 갱신된 cycle, (c) 최종 cycle)

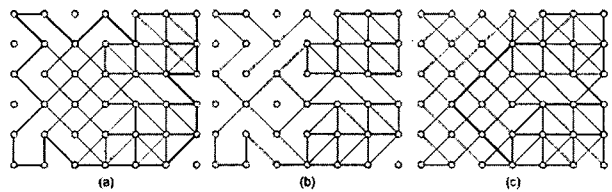


그림 4. 단계 1.라, 단계 2 그리고 단계3의 예제

보조정리 2 *Biconnected* 그리드 그래프의 한 simple cycle 2/3-영역 구분자는 $O(\text{sort}(N))$ 입출력을 통해 구할 수 있다.

증명. *타당성*: 단계 1은 [12]의 cycle 인식과 유사하면서 가장자리 vertex들과 그 incident edge들 그리고 그 edge들의 다른 한 끝 vertex들로 구성된 subgraph에 적용한다. 또한 가장자리 vertex들의 biconnectivity는 여전히 보존되므로 최소 하나의 cycle이 이 subgraph에 존재하게 된다. 따라서 우리는 G 의 가장자리 cycle을 얻을 수 있다. 단계 2에서 우리는 모든 edge교차를 없앴기 때문에, 단계 3의 planar_{2/3}SCS를 적용할 수 있다. 또한 우리는 한 face내의 고립 vertex가 여전히 vertex cardinality에 기여 할 수 있게끔 하였고 C_{out} 의 바깥쪽 vertex들도 전체 $|V|$ 에 고려되게 하였으므로, $2/3|V|$ 값

을 제대로 반영하게 된다.

복잡도: 그리드 그래프에서 vertex는 흔히 2차원 좌표에 의해 인식되므로 단계 1.가의 가장자리 vertex들은 x 와 y 좌표에 의한 vertex정렬로부터 구할 수 있고 단계 1.가의 나머지는 가장자리 vertex들과 그 incident edge들을 scan하므로 단계 1.가는 $O(sort(M))$ 의 입출력이 소요된다. 단계 1.나와 단계 1.라는 간단히 scan에 의해 처리 가능하므로 $O(scan(M))$ 의 입출력이 소요된다. 단계 1.다에서, 처음 cycle에서 몇몇 scan을 통해서 C_{out} 을 찾을 수 있으므로 단계 1은 전체적으로 $O(sort(M))$ 의 입출력이 소요된다. 단계 2는 C_{out} 와 그 내부를 간단히 scan하면서 수행할 수 있다. 단계 3은 정리 1에 의해 $O(sort(M))$ 의 입출력이 소요되므로 전체 입출력 복잡도는 $O(sort(M))$ 이 된다. □

4. 결 론

비 평면 그래프인 일반 그리드 그래프에서 안과 밖을 2/3으로 나누는 cycle을 입출력 효율적으로 구하는 방법을 제안하였다. 이 방법은 depth-first search와 같은 다른 복잡한 알고리즘에 병렬성 및 입출력 효율성을 제공하는 역할을 할 수 있다. 그리드 그래프와 같이 비 평면성이지만 어느 정도 거시적으로 평면성을 내포하고 있는 대부분의 그래프 종류에서도 수행 가능할 것으로 보인다. 제안 알고리즘이 디스크 그래프와 같은 다른 비 평면 그래프 종류에 대해서도 타당성이 있는지 검토하는 것이 향후 과제이다.

참고문헌

- [1] Jeanna Neefe Matthews, "Improving File System Performance With Adaptive Methods," Ph.D. Dissertation, University of California Berkely, December 1999.
- [2] Y. J. Chiang, M. T. Goodrich, E. F. Grove, R. Tamassia, D. E. Vengroff, and J. S. Vitter, "External-memory graph algorithms," In Proc. of the 6th Annual ACM-SIAM Symposium on Discrete Algorithms, pp 139-149, 1995.
- [3] V. Kumar and E. J. Schwabe, "Improved algorithms and data structures for solving graph problems in external memory," In Proceedings of the 8th IEEE Symposium on Parallel and Distributed Computing, pp. 169-177, 1996.
- [4] K. Munagala and A. Ranade, "I/O-Complexity of graph algorithms," In Proc. of the 10th Annual ACM-SIAM Symposium on Discrete Algorithms, pp. 687-694, 1999.
- [5] A. Buchsbaum, M. Goldwasser, S. Venkatasubramanian, and J. Westbrook, "On external memory graph traversal," In Proc. of the ACM-SIAM Symposium on Discrete Algorithm, pp566-575, 2000.
- [6] L. Arge, L. Toma, and J. S. Vitter, "I/O-Efficient

Algorithms for Problems on Grid-based Terrains," Journal of Experimental Algorithms, vol. 6, page 1, 2001.

- [7] U. Meyer, "External Memory BFS on Undirected Graphs with Bounded Degree," In Proc. 12th ann. Symposium on Discrete Algorithms, pp. 87-88, ACM-SIAM, 2001.
- [8] A. Maheshwari and N. Zeh, "I/O-optimal algorithms for planar graphs using separators," In Proc. of the 13th annual ACM-SIAM Symposium on Discrete Algorithms, pp. 372-381, 2002.
- [9] A. Maheshwari and N. Zeh. "I/O-Efficient Algorithms for Outerplanar Graphs." Journal of Graph Algorithms and Applications, 8(1):47-87, 2004.
- [10] A. Aggarwal and J. S. Vitter, "The input/output complexity of sorting and related problems," Communications of the ACM, pp. 1116-1127, September 1988.
- [11] 허준호 R.S. Ramakrishna, "그리드 그래프를 위한 입출력 효율적인 Depth-First Search 알고리즘," 2004 한국정보처리학회 추계학술대회논문집, 제11권, 제2호, pp.1139-1142, 2004.
- [12] David Hutchinson, Anil Maheshwari, and Norbert Zeh, "An external memory data structure for shortest path queries," Discrete Applied Mathematics, vol.126, no.1, pp.55-82, March 2003
- [13] L. Arge, U. Meyer, L. Toma, N. Zeh, "On External-Memory Planar Depth First Search," *Journal on Graph Algorithms and Applications*, vol. 7, no. 2, pp. 105-129, 2003.